

# **Tema 2 - Arquitectura y modelos para entornos virtuales.**

## **2.4 Modelos de generación procesal.**

Germán Arroyo, Juan Carlos Torres

5 de febrero de 2021

## **Tema 2: Arquitectura y modelos para entornos virtuales.**

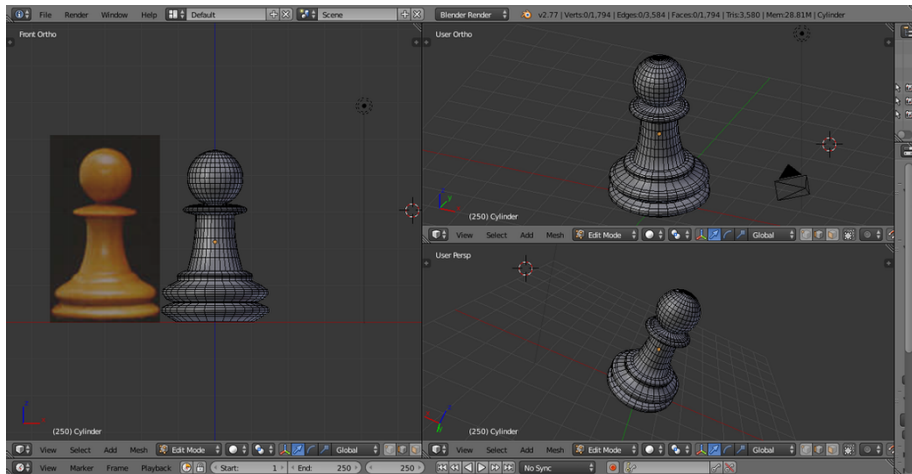
- 2.1 Grafos de escena y modelos jerárquicos.
- 2.2 Métodos básicos de representación.
- 2.3 Sistemas básicos de iluminación y cámaras.
- 2.4 Modelos de generación procesal.

## 2.4 Modelos de generación procesal

Hay varios objetos que se pueden generar mediante algoritmos que basados en sólidos o mallas.

- Revolución (*lathe*).
- Extrusión y soleados (*extrusion/loft*).
- Operaciones booleanas (*boolean*).

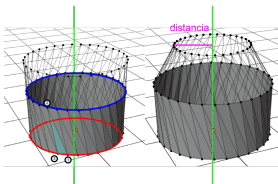
# Revolución (I)



**Figura 1:** Objeto creado por revolución.

# Revolución (II)

- 1 Tomar el vector del eje.
- 2 Desplazar un vértice del centro del eje y rotar a incrementos ( $n^\circ$  de caras) hasta completar el  $n^\circ$  de grados deseado (normalmente  $360^\circ$ ).
- 3 Siguiendo vértice:
  - ▶ Añadir cierta altura ( $1/altura\_total\_modelo$ )
  - ▶ Si la iteración es par, sumar ángulo de giro, en otro caso restar. Repetir 2.
- 4 Construir las caras:  $(v_{j,i}, v_{(j+1) \bmod N,i}, v_{j,(i+1) \bmod N})$ ,  $N$  es el número de pasos.



**Figura 2:** Pasos para realizar la revolución.

# Revolución (III)

Matriz de rotación en eje arbitrario:

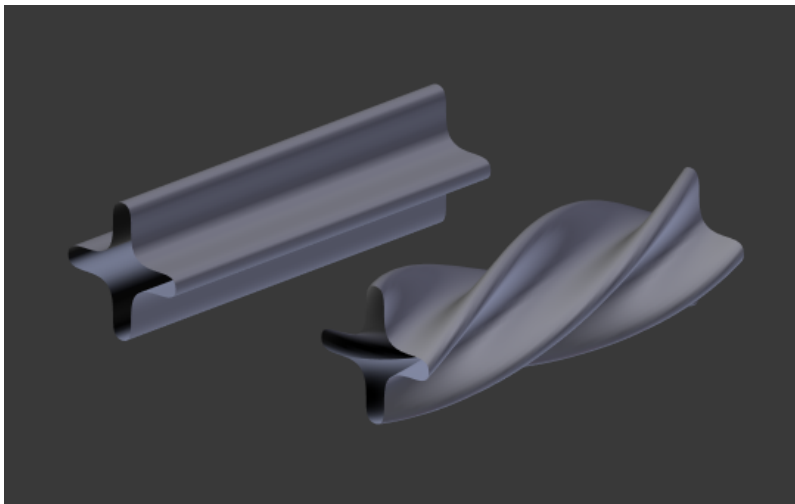
<http://ksuweb.kennesaw.edu/~plaval/math4490/rotgen.pdf>

$$T = \begin{pmatrix} tu_x^2 + C & tu_xu_y - Su_z & tu_xu_z + Su_y & 0 \\ tu_xu_y + Su_z & tu_y^2 + C & tu_yu_z - Su_x & 0 \\ tu_xu_z - Su_y & tu_yu_z + Su_x & tu_z^2 + C & 0 \\ 0 & 0 & 0 & 1 \end{pmatrix}$$

Donde:

- $\hat{r} = (u_x, u_y, u_z)$  = eje de rotación, y  $\Theta$  ángulo de rotación ( $360^\circ$ ).
- $C = \cos \Theta$
- $S = \sin \Theta$
- $t = 1 - C$

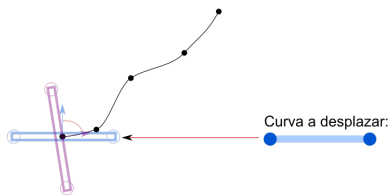
# Extrusión y sollevados (I)



**Figura 3:** Objeto creado mediante extrusión (izquierda) y sollevado (derecha).

## Extrusión y sollevados (II)

- 1  $i = 0$
- 2  $\vec{k}_i$  es el primer vértice de la curva de recorrido.
- 3  $\hat{d} = \text{norm}(k_{i+1} - k_i)$ .
- 4 Desplazar la curva al punto  $\vec{k}$ , girarla  $\Theta$  grados (punto de pivote):  
$$\Theta = \arccos[(\hat{d} \cdot \hat{N}) / (|\hat{d}| \cdot |\hat{N}|)] = \arccos(\hat{d} \cdot \hat{N})$$
- 5 Incrementar  $i$  y repetir 2.
- 6 Construir los triángulos como en la revolución.





# Operaciones booleanas (I)

Conjunto de operaciones booleanas entre sólidos en  $\mathbb{R}^3$ :

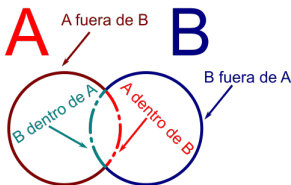
- Unión:  $A \cup B = \{x \in A \text{ or } x \in B\}$
- Intersección:  $A \cap B = \{x \in A \text{ and } x \in B\}$
- Diferencia:  $A - B = \{x \in A \text{ and } x \notin B\}$



# Operaciones booleanas (II)

Algoritmo:

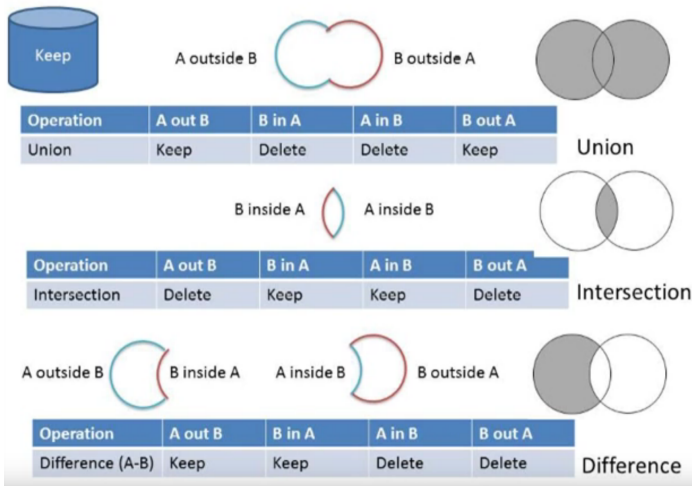
- 1 Encontrar las intersecciones entre  $A$  y  $B$ .
- 2 Dividir ambos modelos por las intersecciones, y clasificar las regiones.
- 3 Decidir qué regiones se borran.
- 4 Unir entre sí las regiones restantes.



**Figura 4:** Clasificación de regiones.

<https://www.youtube.com/watch?v=QWtknlm5kn8>

# Operaciones booleanas (III)



**Figura 5:** Esquema de decisiones para eliminar piezas.

# Modelado procedural

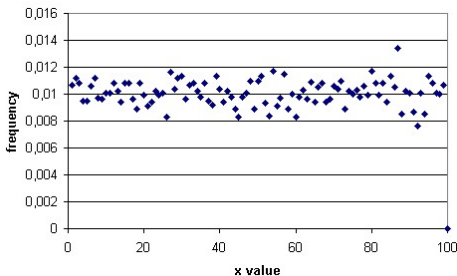
- **Modelado procedural:** el modelo 3D se describe usando código en lugar de datos

Ventajas:

- Generación automática.
- Fácil parametrización y continuidad.
- Menor tamaño en memoria y disco.
- Mayor cantidad de contenido.
- Variedad (aleatoriedad).

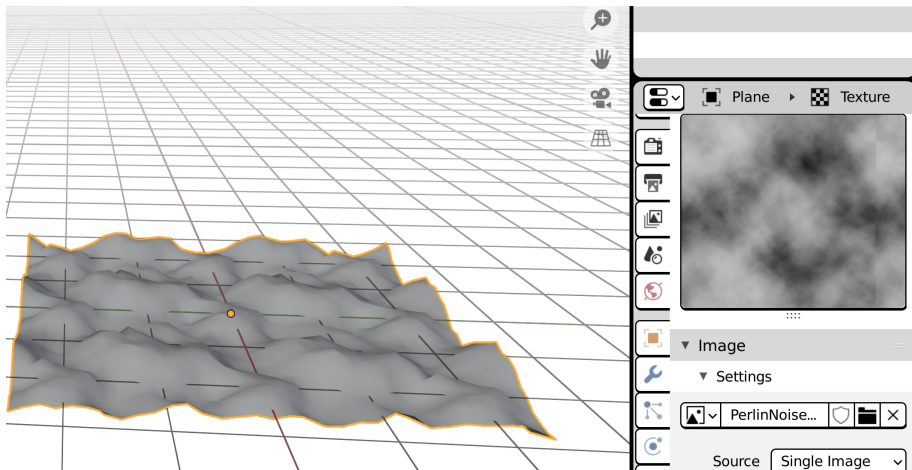
# Generación de números pseudoaleatorios

Se basan en una **semilla**, siempre obtendremos los mismos valores **si el algoritmo y la semilla coinciden**.



**Figura 6:** Generación de números pseudoaleatorios.

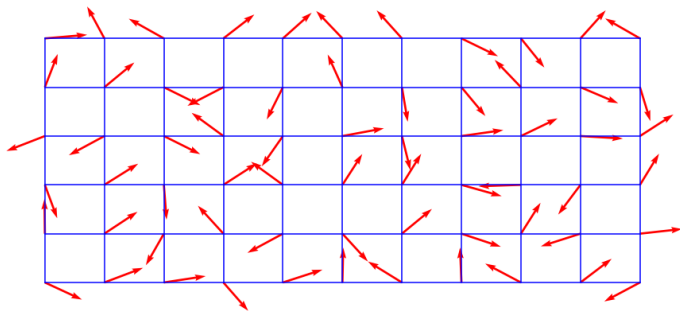
# Ejemplo: Perlin Noise



**Figura 7:** Ejemplo de ruido Perlin 2D.

# Algoritmo de Perlin (I)

- 1 Definir una rejilla de  $N > 1$  dimensiones:
  - Cada intersección está asociada con un vector de valores aleatorios.



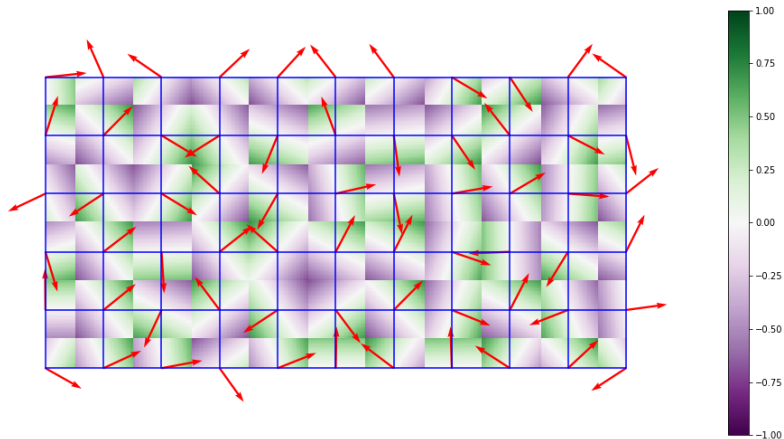
# Algoritmo de Perlin (II)

- ➊ Para calcular el valor de cada punto:
  - Cada punto de intersección, desplazarse en la dirección aleatoria dada y ver en que celda cae.
  - Identificar los puntos de las esquinas de la celda y sus direcciones.
  - Calcular el vector de desplazamiento (desde el punto candidato a cada esquina).



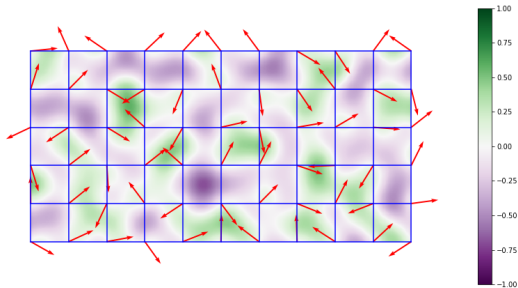
# Algoritmo de Perlin (III)

- Calcular el producto escalar del vector de gradiente y los vectores de desplazamiento.



# Algoritmo de Perlin (IV)

- 3 El último paso es la interpolación de los valores de las esquinas.
- En muchos casos la función es de tipo sigmoide (*smoothstep*), pero cualquier función cuya primera derivada (y posiblemente la segunda) sean 0 es válida. Por ello, se suele aproximar a una interpolación linear según avanzamos hacia las esquinas.

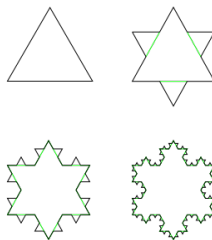


# Fractales determinísticos

- Se parte de una forma inicial (iniciador) y una regla de sustitución.
- En cada interacción se sustituye una parte usando la regla de sustitución.



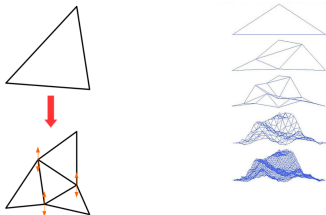
**Figura 8:** Ejemplo de fractal determinístico.



**Figura 9:** Otro ejemplo de fractal determinístico.

# Generación de terrenos sencillos automática

La regla puede contener números aleatorios (ej. Perlin Noise):



**Figura 10:** Generación de terreno mediante fractal determinístico.

[https://upload.wikimedia.org/wikipedia/commons/6/6d/Animated\\_fractal\\_mountain.gif](https://upload.wikimedia.org/wikipedia/commons/6/6d/Animated_fractal_mountain.gif)

# Gramáticas formales

Una gramática formal consiste en una serie de **reglas de producción** ( $A \rightarrow B$ ), donde cada lado contiene una serie de símbolos.

- **Símbolo inicial:** si podemos reducir hasta aquí significa que los símbolos pertenecen al lenguaje.
- **Símbolos no terminales:** puede aplicarse alguna regla de producción.
- **Símbolos terminales:** no se puede aplicar más reglas.
- **Cadena vacía:** ( $\epsilon$ ) representa la ausencia de símbolos, y se considera terminal.

Ejemplo:

$$S \rightarrow AB$$

$$S \rightarrow \epsilon \text{ (de forma simplificada: } S \rightarrow AB|\epsilon)$$

$$A \rightarrow aS$$

$$\$B \rightarrow b$$

# Clasificación de gramáticas (I)

La clasificación de Chomsky define 4 tipos de gramáticas.

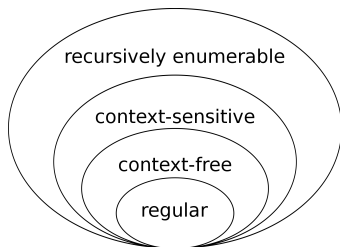
Tipos de gramáticas:

- Tipo-0: incluyen todas las gramáticas formales.
- Tipo-1: generan lenguajes sensibles al contexto.
- Tipo-2: generan lenguajes libres de contexto (contexto teórico para la mayoría de los lenguajes de programación).
- Tipo-3: generan lenguajes regulares (expresiones regulares de búsquedas [grep]).

# Clasificación de gramáticas (II)

Significado de los símbolos de las tablas:

- $a$  = Terminal;  $A, B$  = No terminales.
- $\alpha, \beta, \gamma$  = cadenas de terminales y/o no terminales.
  - ▶  $\alpha, \beta$  pueden ser  $\epsilon$
  - ▶  $\gamma \neq \epsilon$



**Figura 11:** Clasificación de 1920 dada por Chomsky.

# Clasificación de gramáticas (II)

Gramática	Lenguaje	Autómata	Reglas de producción
Tipo-0	Enumerable recursivamente	Máquina de Turing	$\gamma \rightarrow \alpha$ (sin restricciones)
Tipo-1	Sensible a contexto	Autómata linealmente acotado	$\alpha A \beta \rightarrow \alpha \gamma \beta$



## Clasificación de gramáticas (III)

Gramática	Lenguaje	Autómata	Reglas de producción
Tipo-2	Libre de contexto	Autómata con pila	$A \rightarrow \alpha$
Tipo-3	Regular	Autómata de estados finitos	$A \rightarrow a,$ $A \rightarrow aB$

Las gramáticas L-system son gramáticas usadas para generar plantas y organismos.

$$G = \{V, S, \omega, P\}$$

Donde:

- $V$  = símbolos no terminales.
- $S$  = símbolos terminales.
- $\omega \in V$  = define el estado inicial del sistema.
- $P$  = conjunto de reglas de producción.

# Ejemplo: números de Fibonacci

- $V = \{A, B\}$
- $S = \{\}$
- $\omega = \{A\}$
- $P = \{(A \rightarrow B), (B \rightarrow AB)\}$

Ejemplo de secuencia de Fibonacci:

- A, B, AB, BAB, ABBAB, BABABBAB, ABBABBABABBAB, BABABBABABBABABBAB, ...
- Las longitudes dan: 1, 1, 2, 3, 5, 8, 13, 21, ...

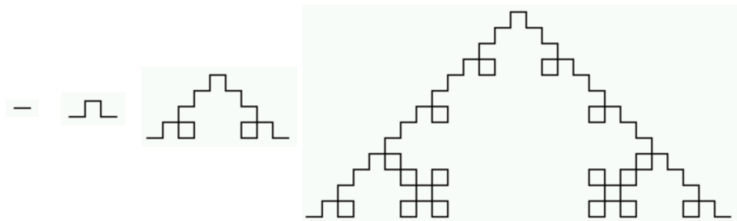
## Ejemplo: curva de Koch (I)

- $V = \{F\}$
- $S = \{+, -\}$  ( $+$  = giro izquierda  $90^\circ$ ,  $-$  = giro derecha  $90^\circ$ )
- $\omega = \{F\}$  ( $F$  = dibujar 1 paso hacia delante)
- $P = \{(F \rightarrow F + F - F - F + F)\}$

Ejemplo de secuencia de curva de Koch:

- $F; F+F-F-F+F; F+F-F-F+F+F+F-F-F+F-F+F-F+F-F-F+F+F+F-F-F+F;$   
 $F+F-F-F+F+F+F-F-F+F-F+F-F+F-F+F-F+F+F-F-F+F+$   
 $F+F-F-F+F+F+F-F-F+F-F+F-F+F-F+F-F+F+F-F-F+F-$   
 $F+F-F-F+F+F+F-F-F+F-F+F-F+F-F+F-F+F+F-F-F+F-$   
 $F+F-F-F+F+F+F-F-F+F-F+F-F+F-F+F-F+F+F-F-F+F+$   
 $F+F-F-F+F+F+F-F-F+F-F+F-F+F-F+F-F+F+F-F-F+F; \dots$

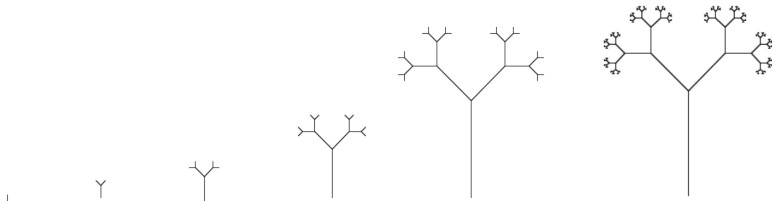
## Ejemplo: curva de Koch (II)



**Figura 12:** Curva de Koch generada con gramática L-system.

## Ejemplo: árbol 2D

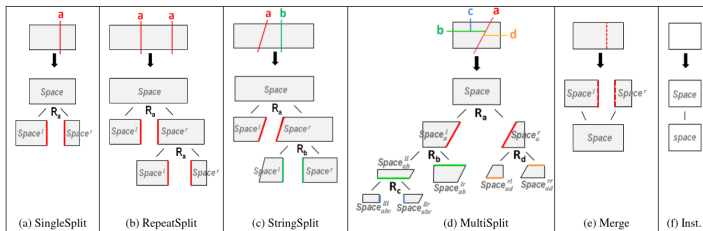
- $V = \{Y, T\}$  ( $Y$  = yema [mitad de tamaño que tallo],  $T$  = tallo)
- $S = \{[, ]\}$  ( $[$  = bifurcación a izquierda,  $]$  = bifurcación a derecha)
- $\omega = \{Y\}$
- $P = \{(Y \rightarrow T[Y]Y), (T \rightarrow TT)\}$



**Figura 13:** Ejemplo de gramática L-system para la generación de árbol 2D.

# Aún más ejemplos

- Becker, S., Peter, M., Fritsch, D., Philipp, D., Baier, P., & Dibak, C. (2013). **Combined grammar for the modeling of building interiors.** ISPRS Ann. Photogramm. Remote Sens. Spatial Inf. Sci, 1-6.



**Figura 14:** Generación de interiores de edificios con gramáticas L-system.